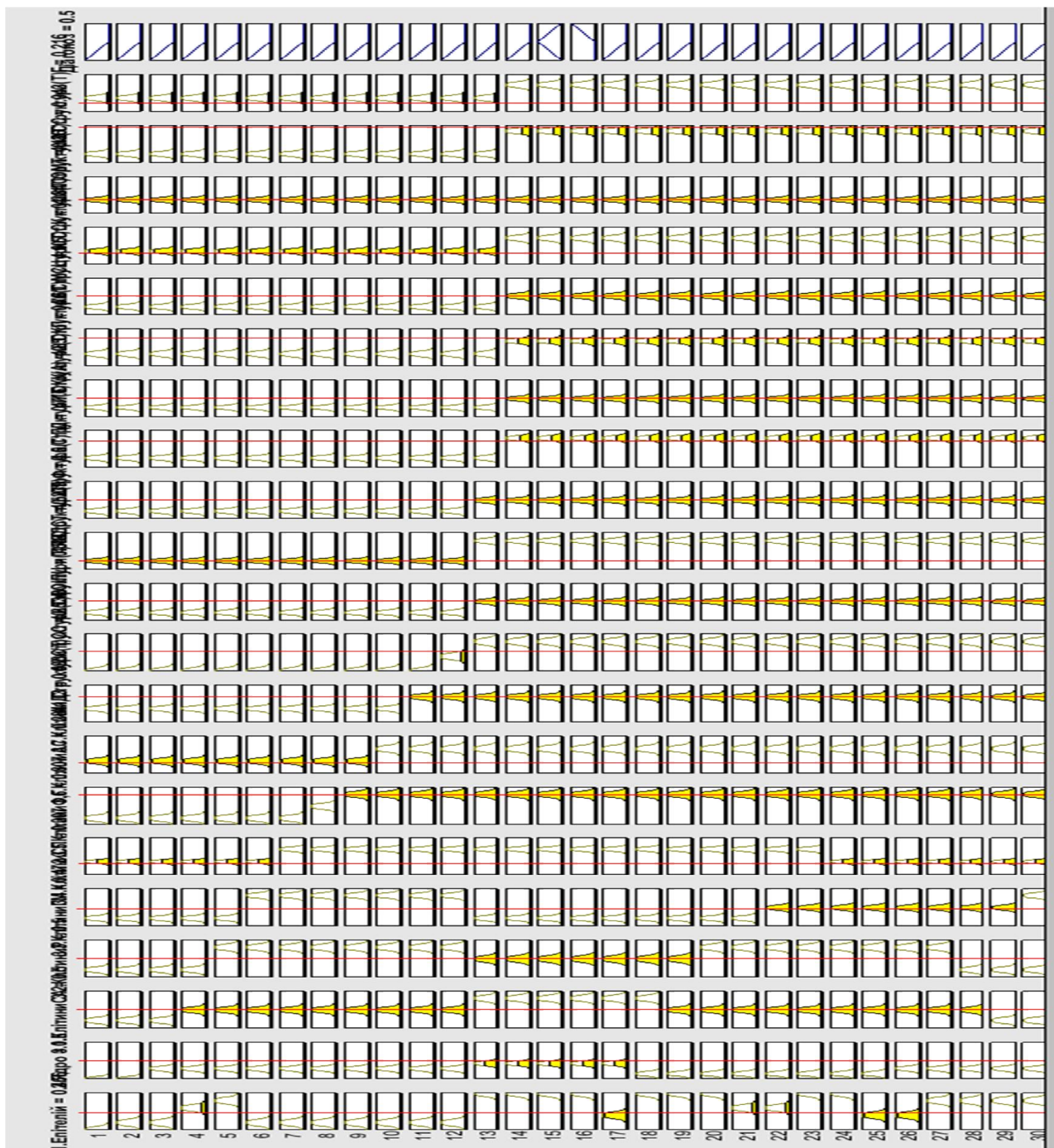


Додаток А

Копія екрану вікна нечіткої системи



Додаток Б

Вихідний текст нечіткої системи

```
[System]
Name='Нечітка система'
Type='mamdani'
Version=2.0
NumInputs=21
NumOutputs=1
NumRules=2141
AndMethod='min'
OrMethod='max'
ImpMethod='min'
AggMethod='max'
DefuzzMethod='centroid'
[Input1]
Name='1.Епітелій'
Range=[0 1]
NumMFs=6
MF1='1.1.1.САНВ':'gbellmf',[0.0568783068783069 2.5 3.47e-18]
MF2='1.1.2.САДВ':'gbellmf',[0.0417089947089947 2.5 0.203]
MF3='1.1.3.САСВ':'gbellmf',[0.046058201058201 2.5 0.405]
MF4='1.2.1.ГЕКНе':'gbellmf',[0.0441798941798942 2.5 0.6]
MF5='1.2.2.ГЕКНК':'gbellmf',[0.0447089947089947 2.5 0.8]
MF6='1.2.3.ГЕКПБ':'gbellmf',[0.056878306878307 2.5 1]
[Input2]
Name='2.Ядро'
Range=[0 1]
NumMFs=8
MF1='2.1.1.ОГН':'gbellmf',[0.0251322751322751 2.5 -4.34e-18]
MF2='2.1.2.ОГНК':'gbellmf',[0.0252751322751323 2.5 0.143]
MF3='2.1.3.ОГПБ':'gbellmf',[0.0254179894179895 2.5 0.286]
MF4='2.2.1.ОН':'gbellmf',[0.0282063492063492 2.5 0.429]
MF5='2.2.2.ОЄ':'gbellmf',[0.0273492063492065 2.5 0.571]
MF6='2.3.1.РЯІВХН':'gbellmf',[0.0248465608465609 2.5 0.714]
MF7='2.3.2.РЯІВХВ':'gbellmf',[0.0276349206349207 2.5 0.857]
MF8='2.3.3.РЯІВХНВ':'gbellmf',[0.0357142857142858 2.5 1]
[Input3]
Name='3.1.КлітиниСА'
Range=[0 1]
NumMFs=3
MF1='3.1.1.САГ',[0.0624550264550265 2.5 0.214]
MF2='3.1.2.САН':'gbellmf',[0.0588518518518518 2.5 0.543]
MF3='3.1.3.САН':'gbellmf',[0.0566084656084656 2.5 0.841]
[Input4]
Name='3.2.КлітиниР'
Range=[0 1]
NumMFs=3
MF1='3.2.1.РН':'gbellmf',[0.0622 2.5 0.177037037037037]
```

MF2='3.2.2.РВ':'gbellmf',[0.0621693121693123 2.5 0.5]
 MF3='3.2.3.РНВ':'gbellmf',[0.0618994708994709 2.5 0.841]
 [Input5]
 Name='3.3.КлітиниГМ'
 Range=[0 1]
 NumMFs=3
 MF1='3.3.1.ГМН':'gbellmf',[0.052 2.5 0.227126984126984]
 MF2='3.3.2.ГМНК':'gbellmf',[0.0488 2.5 0.523708994708995]
 MF3='3.3.3.ГМВК':'gbellmf',[0.0546084656084656 2.5 0.839]
 [Input6]
 Name='3.4.КлітиниСП'
 Range=[0 1]
 NumMFs=2
 MF1='3.4.1.СПН':'gbellmf',[0.0533386243386242 2.5 0.321]
 MF2='3.4.2.СПС':'gbellmf',[0.0532380952380953 2.5 0.708]
 [Input7]
 Name='3.5.КлітиниФ,Г'
 Range=[0 1]
 NumMFs=3
 MF1='3.5.1.Ф,ГН':'gbellmf',[0.0542275132275132 2.5 0.209]
 MF2='3.5.2.Ф,ГНК':'gbellmf',[0.0562328042328042 2.5 0.502]
 MF3='3.5.3.Ф,ГВК':'gbellmf',[0.0587 2.5 0.763746031746032]
 [Input8]
 Name='3.6.КлітиниАС'
 Range=[0 1]
 NumMFs=2
 MF1='3.6.1.АСН':'gbellmf',[0.0664656084656085 2.5 0.292]
 MF2='3.6.2.АСС':'gbellmf',[0.0663015873015872 2.5 0.729]
 [Input9]
 Name='3.7.КлітиниДЗ'
 Range=[0 1]
 NumMFs=2
 MF1='3.7.1.ДЗН':'gbellmf',[0.0591851851851852 2.5 0.376]
 MF2='3.7.2.ДЗС':'gbellmf',[0.0649841269841269 2.5 0.688]
 [Input10]
 Name='4.1.Структури(Т)СС'
 Range=[0 1]
 NumMFs=6
 MF1='4.1.1.ССР',[0.0542328042328042 2.5 3.47e-18]
 MF2='4.1.2.ССГ':'gbellmf',[0.03994708994709 2.5 0.2]
 MF3='4.1.3.ССВ':'gbellmf',[0.0405396825396825 2.5 0.392]
 MF4='4.1.4.ССБ':'gbellmf',[0.0404761904761904 2.5 0.6]
 MF5='4.1.5.ССММС':'gbellmf',[0.0420634920634921 2.5 0.8]
 MF6='4.1.6.ССН':'gbellmf',[0.056878306878307 2.5 1]
 [Input11]
 Name='4.2.Структури(Т)ВОПЦ'
 Range=[0 1]
 NumMFs=3
 MF1='4.2.1.ВОПЦН':'gbellmf',[0.0565185185185184 2.5 0.212]
 MF2='4.2.2.ВОПЦНК':'gbellmf',[0.0568783068783068 2.5 0.5]
 MF3='4.2.3.ВОПЦПБ':'gbellmf',[0.0601005291005291 2.5 0.781]

[Input12]
Name='4.3.Структури(Т)РВДСТ'
Range=[0 1]
NumMFs=3
MF1='4.3.1.РВДСТН':'gbellmf',[0.0566455026455026 2.5 0.196]
MF2='4.3.2.РВДСТНК':'gbellmf',[0.0563968253968253 2.5 0.519]
MF3='4.3.3.РВДСТПБ':'gbellmf',[0.0569 3.28 0.830708994708995]
[Input13]
Name='4.4.Структури(Т)Ф'
Range=[0 1]
NumMFs=3
MF1='4.4.1.ФН':'gbellmf',[0.0538730158730159 2.5 0.212]
MF2='4.4.2.ФНК':'gbellmf',[0.0569 2.5 0.5]
MF3='4.4.3.ФПБ':'gbellmf',[0.0595 2.5 0.812169312169312]
[Input14]
Name='4.5.Структури(Т)ПД'
Range=[0 1]
NumMFs=3
MF1='4.5.1.ПДН':'gbellmf',[0.0565820105820105 2.5 0.204]
MF2='4.5.2.ПДВ':'gbellmf',[0.0568783068783068 2.5 0.5]
MF3='4.5.3.ПДР':'gbellmf',[0.0596 2.5 0.767238095238095]
[Input15]
Name='4.6.Структури(Т)КК(А)'
Range=[0 1]
NumMFs=3
MF1='4.6.1.КК(А)К':'gbellmf',[0.0489 2.5 0.201036507936508]
MF2='4.6.2.КК(А)ПЕ':'gbellmf',[0.0489417989417988 2.5 0.5]
MF3='4.6.3.КК(А)Н':'gbellmf',[0.0512275132275133 2.5 0.788]
[Input16]
Name='4.7.Структури(Т)КП'
Range=[0 1]
NumMFs=2
MF1='4.7.1.КПН':'gbellmf',[0.0623 2.5 0.349126984126984]
MF2='4.7.2.КПС':'gbellmf',[0.0572 2.5 0.730507936507937]
[Input17]
Name='4.8.Структури(Т)МСЦ'
Range=[0 1]
NumMFs=3
MF1='4.8.1.МСЦН':'gbellmf',[0.0545185185185184 2.5 0.214]
MF2='4.8.2.МСЦГ':'gbellmf',[0.0542328042328042 2.5 0.5]
MF3='4.8.3.МСЦМ':'gbellmf',[0.0595185185185186 2.5 0.791]
[Input18]
Name='4.9.Структури(Т)СК'
Range=[0 1]
NumMFs=2
MF1='4.9.1.СКН':'gbellmf',[0.0538571428571428 2.5 0.339]
MF2='4.9.2.СКС':'gbellmf',[0.057 2.5 0.735608465608466]
[Input19]
Name='4.10.Структури(Т)ОМТ'
Range=[0 1]
NumMFs=2

```

MF1='4.10.1.OMTH':'gbellmf',[0.0542751322751323 2.5 0.328]
MF2='4.10.2.OMTC':'gbellmf',[0.0516296296296296 2.5 0.672]
[Input20]
Name='4.11.Структури(T)C'
Range=[0 1]
NumMFs=3
MF1='4.11.1.CCP':'gbellmf',[0.0516455026455026 2.5 0.201]
MF2='4.11.2.CCP':'gbellmf',[0.0621693121693121 2.5 0.5]
MF3='4.11.3.CH':'gbellmf',[0.0564179894179895 2.5 0.817]
[Input21]
Name='4.12.Структури(T)Г'
Range=[0 1]
NumMFs=2
MF1='4.12.1.ГН':'gbellmf',[0.0541746031746031 2.5 0.299]
MF2='4.12.2.ГЄ':'gbellmf',[0.0650740740740742 2.5 0.741]
[Output1]
Name='Діагноз'
Range=[0 1]
NumMFs=3
MF1='Діагноз·1':'trimf',[-0.4 0 0.4]
MF2='Діагноз·2':'trimf',[0.1 0.5 0.9]
MF3='Діагноз·3':'trimf',[0.6 1 1.4]
[Rules]
1 1 1 1 1 1 1 1 1 1 1 1 1 1 1 1 1 1 1 1 1 1, 1 (1) : 1
2 1 1 1 1 1 1 1 1 1 1 1 1 1 1 1 1 1 1 1 1 1, 1 (1) : 1
3 1 1 1 1 1 1 1 1 1 1 1 1 1 1 1 1 1 1 1 1 1, 1 (1) : 1
4 1 1 1 1 1 1 1 1 1 1 1 1 1 1 1 1 1 1 1 1 1, 1 (1) : 1
5 1 1 1 1 1 1 1 1 1 1 1 1 1 1 1 1 1 1 1 1 1, 1 (1) : 1
6 1 1 1 1 1 1 1 1 1 1 1 1 1 1 1 1 1 1 1 1 1, 1 (1) : 1
0 1 1 1 1 1 1 1 1 1 1 1 1 1 1 1 1 1 1 1 1 1, 1 (1) : 1
1 2 1 1 1 1 1 1 1 1 1 1 1 1 1 1 1 1 1 1 1 1, 1 (1) : 1
2 2 1 1 1 1 1 1 1 1 1 1 1 1 1 1 1 1 1 1 1 1, 1 (1) : 1
3 2 1 1 1 1 1 1 1 1 1 1 1 1 1 1 1 1 1 1 1 1, 1 (1) : 1
4 2 1 1 1 1 1 1 1 1 1 1 1 1 1 1 1 1 1 1 1 1, 1 (1) : 1
5 2 1 1 1 1 1 1 1 1 1 1 1 1 1 1 1 1 1 1 1 1, 1 (1) : 1
6 2 1 1 1 1 1 1 1 1 1 1 1 1 1 1 1 1 1 1 1 1, 1 (1) : 1
0 2 1 1 1 1 1 1 1 1 1 1 1 1 1 1 1 1 1 1 1 1, 1 (1) : 1
1 3 1 1 1 1 1 1 1 1 1 1 1 1 1 1 1 1 1 1 1 1, 1 (1) : 1
2 3 1 1 1 1 1 1 1 1 1 1 1 1 1 1 1 1 1 1 1 1, 1 (1) : 1
3 3 1 1 1 1 1 1 1 1 1 1 1 1 1 1 1 1 1 1 1 1, 1 (1) : 1
4 3 1 1 1 1 1 1 1 1 1 1 1 1 1 1 1 1 1 1 1 1, 1 (1) : 1
5 3 1 1 1 1 1 1 1 1 1 1 1 1 1 1 1 1 1 1 1 1, 1 (1) : 1
6 3 1 1 1 1 1 1 1 1 1 1 1 1 1 1 1 1 1 1 1 1, 1 (1) : 1
0 3 1 1 1 1 1 1 1 1 1 1 1 1 1 1 1 1 1 1 1 1, 1 (1) : 1
1 4 1 1 1 1 1 1 1 1 1 1 1 1 1 1 1 1 1 1 1 1, 1 (1) : 1
2 4 1 1 1 1 1 1 1 1 1 1 1 1 1 1 1 1 1 1 1 1, 1 (1) : 1
3 4 1 1 1 1 1 1 1 1 1 1 1 1 1 1 1 1 1 1 1 1, 1 (1) : 1
4 4 1 1 1 1 1 1 1 1 1 1 1 1 1 1 1 1 1 1 1 1, 1 (1) : 1
5 4 1 1 1 1 1 1 1 1 1 1 1 1 1 1 1 1 1 1 1 1, 1 (1) : 1
6 4 1 1 1 1 1 1 1 1 1 1 1 1 1 1 1 1 1 1 1 1, 1 (1) : 1
0 4 1 1 1 1 1 1 1 1 1 1 1 1 1 1 1 1 1 1 1 1, 1 (1) : 1

```


451211111111111111111111, 1 (1): 1
551211111111111111111111, 1 (1): 1
651211111111111111111111, 1 (1): 1
051211111111111111111111, 1 (1): 1
161211111111111111111111, 1 (1): 1
261211111111111111111111, 1 (1): 1
361211111111111111111111, 1 (1): 1
461211111111111111111111, 1 (1): 1
561211111111111111111111, 1 (1): 1
661211111111111111111111, 1 (1): 1
061211111111111111111111, 1 (1): 1
171211111111111111111111, 1 (1): 1
271211111111111111111111, 1 (1): 1
371211111111111111111111, 1 (1): 1
471211111111111111111111, 1 (1): 1
571211111111111111111111, 1 (1): 1
671211111111111111111111, 1 (1): 1
071211111111111111111111, 1 (1): 1
181211111111111111111111, 1 (1): 1
281211111111111111111111, 1 (1): 1
381211111111111111111111, 1 (1): 1
481211111111111111111111, 1 (1): 1
581211111111111111111111, 1 (1): 1
681211111111111111111111, 1 (1): 1
081211111111111111111111, 1 (1): 1
101211111111111111111111, 1 (1): 1
201211111111111111111111, 1 (1): 1
301211111111111111111111, 1 (1): 1
401211111111111111111111, 1 (1): 1
501211111111111111111111, 1 (1): 1
601211111111111111111111, 1 (1): 1
001211111111111111111111, 1 (1): 1
112211111111111111111111, 1 (1): 1
212211111111111111111111, 1 (1): 1
312211111111111111111111, 1 (1): 1
412211111111111111111111, 1 (1): 1
512211111111111111111111, 1 (1): 1
612211111111111111111111, 1 (1): 1
012211111111111111111111, 1 (1): 1
122211111111111111111111, 1 (1): 1
222211111111111111111111, 1 (1): 1
322211111111111111111111, 1 (1): 1
422211111111111111111111, 1 (1): 1
522211111111111111111111, 1 (1): 1
622211111111111111111111, 1 (1): 1
022211111111111111111111, 1 (1): 1
132211111111111111111111, 1 (1): 1
232211111111111111111111, 1 (1): 1
332211111111111111111111, 1 (1): 1
432211111111111111111111, 1 (1): 1
532211111111111111111111, 1 (1): 1

632211111111111111111111, 1 (1): 1
032211111111111111111111, 1 (1): 1
142211111111111111111111, 1 (1): 1
242211111111111111111111, 1 (1): 1
342211111111111111111111, 1 (1): 1
442211111111111111111111, 1 (1): 1
542211111111111111111111, 1 (1): 1
642211111111111111111111, 1 (1): 1
042211111111111111111111, 1 (1): 1
152211111111111111111111, 1 (1): 1
252211111111111111111111, 1 (1): 1
352211111111111111111111, 1 (1): 1
452211111111111111111111, 1 (1): 1
552211111111111111111111, 1 (1): 1
652211111111111111111111, 1 (1): 1
052211111111111111111111, 1 (1): 1
162211111111111111111111, 1 (1): 1
262211111111111111111111, 1 (1): 1
362211111111111111111111, 1 (1): 1
462211111111111111111111, 1 (1): 1
562211111111111111111111, 1 (1): 1
662211111111111111111111, 1 (1): 1
062211111111111111111111, 1 (1): 1
172211111111111111111111, 1 (1): 1
272211111111111111111111, 1 (1): 1
372211111111111111111111, 1 (1): 1
472211111111111111111111, 1 (1): 1
572211111111111111111111, 1 (1): 1
672211111111111111111111, 1 (1): 1
072211111111111111111111, 1 (1): 1
182211111111111111111111, 1 (1): 1
282211111111111111111111, 1 (1): 1
382211111111111111111111, 1 (1): 1
482211111111111111111111, 1 (1): 1
582211111111111111111111, 1 (1): 1
682211111111111111111111, 1 (1): 1
082211111111111111111111, 1 (1): 1
102211111111111111111111, 1 (1): 1
202211111111111111111111, 1 (1): 1
302211111111111111111111, 1 (1): 1
402211111111111111111111, 1 (1): 1
502211111111111111111111, 1 (1): 1
602211111111111111111111, 1 (1): 1
002211111111111111111111, 1 (1): 1
113211111111111111111111, 1 (1): 1
213211111111111111111111, 1 (1): 1
313211111111111111111111, 1 (1): 1
413211111111111111111111, 1 (1): 1
513211111111111111111111, 1 (1): 1
613211111111111111111111, 1 (1): 1
013211111111111111111111, 1 (1): 1

403211111111111111111111, 1 (1) : 1
503211111111111111111111, 1 (1) : 1
603211111111111111111111, 1 (1) : 1
003211111111111111111111, 1 (1) : 1
110211111111111111111111, 1 (1) : 1
210211111111111111111111, 1 (1) : 1
310211111111111111111111, 1 (1) : 1
410211111111111111111111, 1 (1) : 1
510211111111111111111111, 1 (1) : 1
610211111111111111111111, 1 (1) : 1
010211111111111111111111, 1 (1) : 1
120211111111111111111111, 1 (1) : 1
220211111111111111111111, 1 (1) : 1
320211111111111111111111, 1 (1) : 1
420211111111111111111111, 1 (1) : 1
520211111111111111111111, 1 (1) : 1
620211111111111111111111, 1 (1) : 1
020211111111111111111111, 1 (1) : 1
130211111111111111111111, 1 (1) : 1
230211111111111111111111, 1 (1) : 1
330211111111111111111111, 1 (1) : 1
430211111111111111111111, 1 (1) : 1
530211111111111111111111, 1 (1) : 1
630211111111111111111111, 1 (1) : 1
030211111111111111111111, 1 (1) : 1
140211111111111111111111, 1 (1) : 1
240211111111111111111111, 1 (1) : 1
340211111111111111111111, 1 (1) : 1
440211111111111111111111, 1 (1) : 1
540211111111111111111111, 1 (1) : 1
640211111111111111111111, 1 (1) : 1
040211111111111111111111, 1 (1) : 1
150211111111111111111111, 1 (1) : 1
250211111111111111111111, 1 (1) : 1
350211111111111111111111, 1 (1) : 1
450211111111111111111111, 1 (1) : 1
550211111111111111111111, 1 (1) : 1
650211111111111111111111, 1 (1) : 1
050211111111111111111111, 1 (1) : 1
160211111111111111111111, 1 (1) : 1
260211111111111111111111, 1 (1) : 1
360211111111111111111111, 1 (1) : 1
460211111111111111111111, 1 (1) : 1
560211111111111111111111, 1 (1) : 1
660211111111111111111111, 1 (1) : 1
060211111111111111111111, 1 (1) : 1
170211111111111111111111, 1 (1) : 1
270211111111111111111111, 1 (1) : 1
370211111111111111111111, 1 (1) : 1
470211111111111111111111, 1 (1) : 1
570211111111111111111111, 1 (1) : 1

161311111111111111111111,1(1):1
261311111111111111111111,1(1):1
361311111111111111111111,1(1):1
461311111111111111111111,1(1):1
561311111111111111111111,1(1):1
661311111111111111111111,1(1):1
061311111111111111111111,1(1):1
171311111111111111111111,1(1):1
271311111111111111111111,1(1):1
371311111111111111111111,1(1):1
471311111111111111111111,1(1):1
571311111111111111111111,1(1):1
671311111111111111111111,1(1):1
071311111111111111111111,1(1):1
181311111111111111111111,1(1):1
281311111111111111111111,1(1):1
381311111111111111111111,1(1):1
481311111111111111111111,1(1):1
581311111111111111111111,1(1):1
681311111111111111111111,1(1):1
081311111111111111111111,1(1):1
101311111111111111111111,1(1):1
201311111111111111111111,1(1):1
301311111111111111111111,1(1):1
401311111111111111111111,1(1):1
501311111111111111111111,1(1):1
601311111111111111111111,1(1):1
001311111111111111111111,1(1):1
112311111111111111111111,1(1):1
212311111111111111111111,1(1):1
312311111111111111111111,1(1):1
412311111111111111111111,1(1):1
512311111111111111111111,1(1):1
612311111111111111111111,1(1):1
012311111111111111111111,1(1):1
122311111111111111111111,1(1):1
222311111111111111111111,1(1):1
322311111111111111111111,1(1):1
422311111111111111111111,1(1):1
522311111111111111111111,1(1):1
622311111111111111111111,1(1):1
022311111111111111111111,1(1):1
132311111111111111111111,1(1):1
232311111111111111111111,1(1):1
332311111111111111111111,1(1):1
432311111111111111111111,1(1):1
532311111111111111111111,1(1):1
632311111111111111111111,1(1):1
032311111111111111111111,1(1):1
142311111111111111111111,1(1):1

ДОДАТОК В
Копія публікації



Міністерство освіти і науки України
Тернопільський національний економічний університет
Харківський національний університет радіоелектроніки
Національний університет «Львівська політехніка»
Вінницький національний технічний університет
Асоціація фахівців комп'ютерних інформаційних технологій

МАТЕРІАЛИ
VI Всеукраїнської школи-семінару
молодих вчених і студентів

СУЧАСНІ КОМП'ЮТЕРНІ ІНФОРМАЦІЙНІ ТЕХНОЛОГІЇ

ADVANCED COMPUTER INFORMATION TECHNOLOGIES

20-21 травня 2016 року

АСІТ'2016

Тернопіль
ТНЕУ
2016

ББК 32.97

УДК 004.2-3+004.9+51.7+519.6-8

Організатори школи-семінару:

Тернопільський національний економічний університет
Харківський національний університет радіоелектроніки
Національний університет «Львівська політехніка»
Вінницький національний технічний університет
Асоціація фахівців комп'ютерних інформаційних технологій

за підтримки:

Благодійної організації «Асоціація фахівців комп'ютерних інформаційних технологій».

Благодійного фонду "МагнетікВан.Орг".

ТОВ "Елекс".

Компанії "Ecodery".

Компанії "Волошин".

32.97 *Сучасні комп'ютерні інформаційні технології: Матеріали VI Всеукраїнської школи-семінару молодих вчених і студентів АСІТ'2016. – Тернопіль: ТНЕУ, 2016. – 199 с.*

У матеріалах конференції опубліковані результати наукових досліджень і розробок науковців та студентів факультету комп'ютерних інформаційних технологій ТНЕУ, а також інших навчальних і наукових закладів України з таких напрямків: математичні моделі об'єктів та процесів; спеціалізовані комп'ютерні системи; системи штучного інтелекту; інженерія програмного забезпечення; комп'ютерні технології інформаційної безпеки; інформаційно-аналітичне забезпечення економічної діяльності.

Матеріали призначені для наукових співробітників, викладачів, інженерно-технічних працівників, аспірантів та студентів.

Відповідальний за випуск:

Дивак М. П., д. т. н., професор, декан факультету комп'ютерних інформаційних технологій

Рекомендовано до друку

Вченою Радою факультету комп'ютерних інформаційних технологій

Тернопільського національного економічного університету

(протокол № 7 від 26.04.2016 р.)

Відповідальність за достовірність, стиль викладення та зміст надрукованих матеріалів несуть автори.

ISBN 978-966-654-404-2

©ТНЕУ, 2016

© колектив авторів, 2016

СПЕЦІАЛІЗОВАНІ КОМП'ЮТЕРНІ СИСТЕМИ

КОРЕЛЯЦІЙНИЙ СПЕЦПРОЦЕСОР ОПРАЦЮВАННЯ ЦИФРОВИХ ПОТОКІВ ДАНИХ З РОЗПАРАЛЕЛЕНИМИ ОПЕРАЦІЯМИ ДЛЯ МОНИТОРИНГУ СИСТЕМ АВАРІЙНОГО СПОВІЩЕННЯ НАФТОПЕРЕКАЧУВАЛЬНИХ СТАНЦІЙ	
Албанський І.Б.	37
АЛГОРИТМИ АВТОМАТИЧНОГО ЗБОРУ ДАНИХ ВИТРАТ ЕНЕРГОНОСІВ "ІНТЕЛЕКТУАЛЬНОГО" МІСТА	
Борейко О.Ю., Голояд Ю.В.	39
ХАРАКТЕРИСТИКИ ТА КІЛЬКІСНІ ОЦІНКИ СТРУКТУРИЗОВАНОЇ ІНФОРМАЦІЇ	
Возна Н.Я.	41
РОЗРОБКА АРИФМЕТИЧНОГО МОДУЛЯ СПЕЦПРОЦЕСОРА НА ОСНОВІ ВЕРТИКАЛЬНО-ІНФОРМАЦІЙНОЇ ТЕХНОЛОГІЇ	
Гуменний П.В., Зоттев С.А.	43
МЕТОД ПОБУДОВИ БАГАТОРОЗРЯДНОГО ОПЕРАЦІЙНОГО ПРИСТРОЮ ПІДНЕСЕННЯ ЧИСЕЛ ДО КВАДРАТУ	
Давлетова А.Я.	45
АЛГОРИТМ ЗАВАДОСТІЙКОГО КОДУВАННЯ НА ОСНОВІ ЦИКЛІЧНИХ КОДІВ	
Касянчук М.М., Борис О.М., Мандебуря Н.М.	47
АНАЛІЗ АЛГОРИТМІВ ВИЗНАЧЕННЯ ЕНТРОПІЇ ДЛЯ ПОБУДОВИ КЛАСТЕРНИХ МОДЕЛЕЙ КВАЗІСТАЦІОНАРНИХ ОБ'ЄКТІВ	
Николайчук Я.М., Коростіль Д.В., Слободян С.М.	48
ІНФОРМАЦІЙНА ТЕХНОЛОГІЯ ДЛЯ ВИЗНАЧЕННЯ ВІДМІННОСТЕЙ ОЦІНОК ХАОТИЧНОСТІ ФОРМИ ЕЛЕМЕНТІВ ЕЛЕКТРОКАРДІОГРАМИ В ГРУПОВИХ ДОСЛІДЖЕННЯХ	
Оріховська К.Б.	50
АЛГОРИТМИ РЕГУЛЮВАННЯ ПАРАМЕТРІВ ТЕХНОЛОГІЧНОГО ПРОЦЕСУ В ЕНЕРГЕТИЧНИХ УСТАНОВКАХ	
Столяр О.М.	51
НЕЙРОМЕРЕЖЕВИЙ КОНТРОЛЕР ДЛЯ УПРАВЛІННЯ ТЕМПЕРАТУРОЮ В КАМЕРІ СУШІННЯ ДЕРЕВИНИ	
Трембач Р.Б., Романський А.В.	53
АПАРАТНА РЕАЛІЗАЦІЯ ОБЧИСЛЕННЯ МАКСИМАЛЬНОГО І МІНІМАЛЬНОГО ЧИСЕЛ В МАСИВІ ДАНИХ	
Цмоць І.Г., Ігнатев І. В., Данілов П.О.	55
ФОРМУВАННЯ ВИМОГ І ВИБІР ПРИНЦИПІВ ПОБУДОВИ АПАРАТНИХ ЗАСОБІВ СОРТУВАННЯ МАСИВІВ ДАНИХ	
Цмоць І.Г., Кантелюк Ю.М.	57
АПАРАТНА РЕАЛІЗАЦІЯ НЕЙРОЕЛЕМЕНТА	
Цмоць І.Г., Кураш Я.Я.	59

СИСТЕМИ ШТУЧНОГО ІНТЕЛЕКТУ

МЕТОДИ ПОШУКУ АСОЦІАТИВНИХ ПРАВИЛ В БАЗІ ДАНИХ БІОМЕДИЧНИХ ЗОБРАЖЕНЬ	
Вербовий С.О., Зубко В.С.	61
АЛГОРИТМИ ПОБУДОВИ НЕЧІТКИХ ПРОДУКЦІЙНИХ ПРАВИЛ НА ОСНОВІ АНАЛІЗУ БІОМЕДИЧНИХ ЗОБРАЖЕНЬ	
Вербовий С.О., Мартинчук Т.О.	63
БАГАТОРІВНЕВА ПАРАЛЕЛЬНО-ІЄРАРХІЧНА МЕРЕЖА ДЛЯ КЛАСИФІКАЦІЇ ЗОБРАЖЕНЬ	
Гардиш А.В.	65
МЕДИЧНІ НЕЙРОМЕРЕЖЕВІ ЕКСПЕРТНІ СИСТЕМИ В ДІАГНОСТИЦІ	
Герасімова Д.С.	66
ПРИЙНЯТТЯ РІШЕНЬ ПРИ ФОРМУВАННІ ЕКСПОЗИЦІЇ НА ОСНОВІ ВИЯВЛЕНИХ АСОЦІАТИВНИХ ЗАЛЕЖНОСТЕЙ	
Жилко І.В.	68

